

## ВОДЯНАЯ СТУПА ДЛЯ ШЛИФОВКИ РИСА

### А. Введение

Рис является главным национальным продуктом для подавляющего большинства людей во Вьетнаме. Чтобы получить белый рис от него необходимо отделить сначала его кожуру ("обдирка"), а затем отруби ("шлифовка"). Горные регионы северного Вьетнама богаты водными струями, и люди, живущие в этих регионах, используют *водные устройства (ступы)* для шлифовки риса. Рисунок 1 показывает одно из таких устройств, а рисунок 2 – принцип его работы.

### А. Конструкция и принцип работы.

#### 2.1. Конструкция

Водная ступа, показанная на рис. 1, состоит из:

*Ступы*, на самом деле просто деревянная емкость для риса.

*Рычаг*, который представляет собой деревянный ствол с концами разной длины. Он может вращаться вокруг некоторой горизонтальной оси. *Дубинка (пестик)* прикреплена перпендикулярно к рычагу с его короткой стороны. Длина дубинки такова, что она может прикасаться к рису в ступе, когда рычаг лежит горизонтально. На длинном конце рычага вырезано углубление для образования сосуда для воды. Форма этого сосуда очень важна для действия устройства.

#### 2. Режимы работы.

Ступа может работать в двух режимах.

*Рабочий режим.* В этом режиме, ступа совершает некоторый рабочий цикл, проиллюстрированный на рис. 2.

Шлифовка риса происходит благодаря энергии, передаваемой от дубинки к рису в стадии (f) на рис. 2. Если, по какой-то причине, дубинка не может прикасаться к дну ступки, говорят, что устройство не работает.

*Мертвый режим с поднятым рычагом.* В стадии (с) рабочего цикла (рис. 2) когда угол наклона рычага  $\alpha$  увеличивается, количество воды в сосуде уменьшается. В определенный момент времени, количество воды становится достаточным для уравнивания рычага. Обозначим значение угла наклона в этот момент через  $\beta$ . Если рычаг расположен под углом  $\beta$  и его начальная угловая скорость равна нулю, он останется навсегда в этом положении. Это и есть мертвый режим с поднятым рычагом. Устойчивость этого положения рычага зависит от скорости  $\Phi$  натекания воды в сосуд. Если  $\Phi$  превышает некоторое значение  $\Phi_2$ , только мертвый режим стабилен, и ступа переходит в него из любого

начального положения, то есть не может перейти в рабочий режим. Другими словами,  $\Phi_2$  является минимальной скоростью течения, при превышении которой устройство перестает работать.



**Рис. 1**

Водная рисошлифующая ступка

Рабочий цикл ступы.

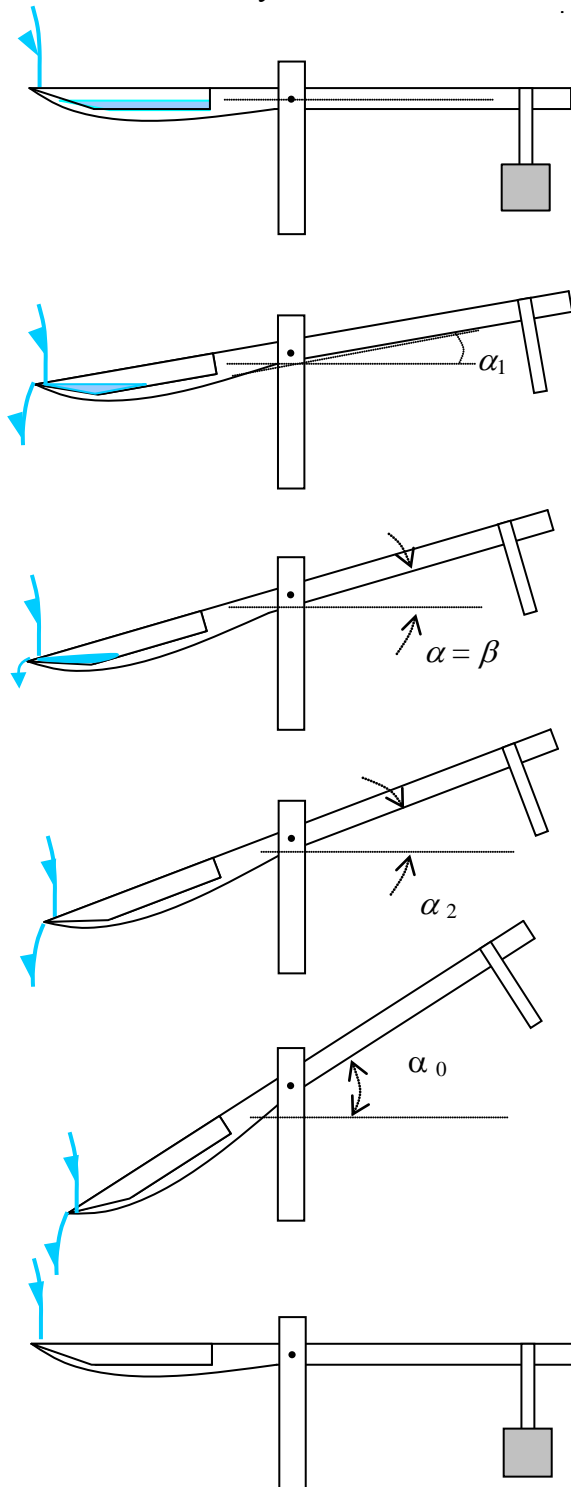


Рис. 2

а) В начальный момент сосуд пуст, дубинка покоится в ступке. Вода течет в сосуд с маленькой скоростью, но рычаг остается в горизонтальном положении некоторое время.

б) В некоторый момент количество воды в сосуде достаточно для поднятия рычага. Вода перекает к более отдаленной стороне сосуда, наклоня рычаг еще быстрее. Вода начинает вытекать при  $\alpha = \alpha_1$ .

с) Угол  $\alpha$  продолжает увеличиваться, вода продолжает вытекать. При некотором значении угла наклона,  $\alpha = \beta$ , суммарный вращающий момент становится равным нулю.

д) Угол  $\alpha$  продолжает расти, вода продолжает вытекать до тех пор, пока сосуд не опорожнится.

е) Угол  $\alpha$  продолжает расти по инерции. Благодаря форме сосуда, втекающая вода сразу вытекает из него. Движение рычага по инерции продолжается до тех пор, пока угол  $\alpha$  не достигает максимального значения  $\alpha_0$ .

ф) Когда сосуд пуст, вес рычага возвращает его назад в начальное горизонтальное положение. Дубинка делает тяжелый удар по ступке (с рисом внутри него) и начинается новый цикл.

**С. Задача**

Рассмотрим водную рисошлифовую ступку (рис. 3).

Масса рычага (с дубинкой, но без воды) равна  $M = 30$  кг,

Центр масс рычага находится в точке  $G$ . Рычаг вращается вокруг оси  $T$  (точка  $T$  на рисунке).

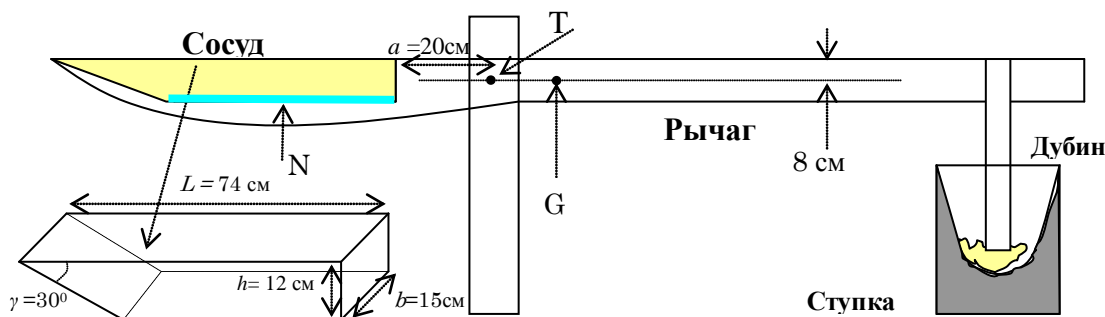
Момент инерции рычага вокруг  $T$  равен  $I = 12$  кг·м<sup>2</sup>.

Когда есть вода в сосуде, масса воды обозначается  $m$ , центр масс воды – точкой  $N$ .

Угол наклона рычага к горизонту обозначается  $\alpha$ .

Основные размеры устройства и сосуда и сосуда приведены на рис. 3.

Пренебрегайте трением в оси вращения и силой, возникающей из-за натекания воды в сосуд. Считайте, что поверхность воды всегда горизонтальна.



**Рис. 3.** Конструкция и размеры устройства

**1. Параметры устройства.**

В начальный момент сосуд пуст и рычаг расположен горизонтально. Затем вода втекает в сосуд до тех пор, пока рычаг не начинает поворачиваться. Масса воды в сосуде в этот момент равна  $m = 1.0$  кг.

1.1. Определите расстояние от центра масс  $G$  рычага до оси вращения  $T$ . Известно, что линия  $GT$  горизонтальна, когда сосуд пуст.

1.2. Вода начинает вытекать из сосуда, когда угол между рычагом и горизонтальной осью достигает некоторого значения  $\alpha_1$ . Вода полностью выливается из сосуда, когда значение этого угла становится равным  $\alpha_2$ .

Вычислите значения углов  $\alpha_1$  и  $\alpha_2$ .

1.3. Пусть  $\mu(\alpha)$  – суммарный вращающийся момент (относительно оси  $T$ ),

создаваемый весом рычага и воды в сосуде. При некотором угле  $\alpha = \beta$  этот момент становится равным нулю  $\mu(\alpha) = 0$ . Рассчитайте значения угла  $\beta$  и массы  $m_1$  воды в сосуде в этот момент.

## 2. Параметры рабочего режима.

Пусть вода втекает в сосуд с малой постоянной скоростью. **Количество воды, втекающей в сосуд, за время движения рычага, пренебрежимо мало.** В этой части задачи пренебрегайте изменением момента инерции системы в рабочем цикле.

2.1. Нарисуйте схематический график зависимости вращающего момента  $\mu$  от угла  $\alpha$ ,  $\mu(\alpha)$ , в течение рабочего цикла. Приведите явные значения  $\mu(\alpha)$  при углах  $\alpha_1$ ,  $\alpha_2$ , и  $\alpha = 0$ .

2.2. Используя график, нарисованный в 2.1., дайте геометрическую интерпретацию значений общей работы  $W_{\text{total}}$ , произведенной моментом сил тяжести  $\mu(\alpha)$ ; и работы  $W_{\text{pounding}}$ , совершенной дубинкой над рисом, за один цикл.

2.3. С помощью графика, изображающего зависимость  $\mu(\alpha)$ , оцените максимальный угол отклонения  $\alpha_0$  и  $W_{\text{pounding}}$  (предполагая, что кинетическая энергия воды, текущей в сосуд и из него пренебрежимо мала.) Можете заменить кривые ломанными линиями, для облегчения расчетов.

## 3. Мертвый режим.

Пусть вода втекает в сосуд с постоянной скоростью натекания (массы в единицу времени)  $\Phi$ . В данной части необходимо учитывать количество воды, втекающей в сосуд при движении рычага.

3.1. Будем считать, что сосуд **всегда наполнен водой** (которая переливается через его край)

3.1.1. Нарисуйте примерный график зависимости вращающего момента  $\mu$  от угла  $\alpha$  в окрестности  $\alpha = \beta$ . К какому виду равновесия принадлежит

положение рычага при  $\alpha = \beta$  ?

3.1.2. Найдите аналитическую формулу для вращающего момента  $\mu(\alpha)$  как функции  $\Delta\alpha$ , когда  $\alpha = \beta + \Delta\alpha$ , причем  $\Delta\alpha$  мало.

3.1.3. Запишите дифференциальное уравнение движения рычага, который движется с нулевой начальной скоростью от начального положения  $\alpha = \beta + \Delta\alpha$  ( $\Delta\alpha$  мало). Покажите, что это движение с хорошей точностью является гармоническими колебаниями. Рассчитайте их период  $\tau$ .

3.2. При заданной скорости натекания  $\Phi$ , сосуд наполнен водой все время, только в том случае, когда рычаг движется достаточно медленно. Амплитуда гармонических колебаний зависит от  $\Phi$ . Определите значение  $\Phi_1$  скорости натекания  $\Phi$  (в кг/с) такое, чтобы рычаг мог совершать гармонические колебания с амплитудой  $1^\circ$ .

3.3. Если скорость  $\Phi$  велика настолько, что при колебательном движении рычага, когда угол наклона изменяется от  $\alpha_2$  до  $\alpha_1$ , то сосуд всегда остается наполненным водой. В этом случае устройство не может действовать в рабочем режиме. Допуская, что движение рычага является гармоническими колебаниями, оцените минимальную скорость течения  $\Phi_2$ , при которой устройство перестает функционировать в рабочем режиме.

## Принцип экстремума

Всего баллов: 10

### A Принцип экстремума в механике

Рассмотрим гладкую горизонтальную плоскость  $xu$  (Рис. 1). Она разделена на две области I и II линией АВ, которая удовлетворяет уравнению  $x = x_1$ . Потенциальная энергия точечной частицы массы  $m$  равна нулю ( $V = 0$ ) в области I и  $V = V_0$  в области II. Частица начинает двигаться из начала координат О со скоростью  $v_1$  по прямой, направленной под углом  $\theta_1$  к оси  $x$ . Она достигает точки Р в области II, имея скорость  $v_2$ , направленную под углом  $\theta_2$  к оси  $x$ . Силой тяжести и релятивистскими эффектами можно пренебречь во всех пунктах этой задачи.

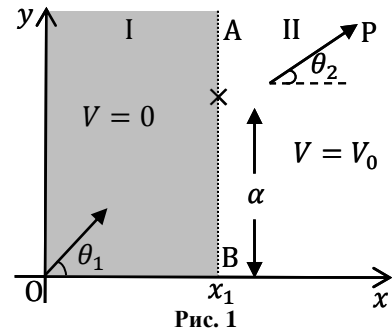


Рис. 1

A1	Получите выражение для $v_2$ через $m$ , $v_1$ и $V_0$ .	0.2
A2	Выразите $v_2$ через $v_1$ , $\theta_1$ и $\theta_2$ .	0.3

Определим величину, называемую действием  $A = m \int v(s)ds$ , где  $ds$  — бесконечно малый элемент длины вдоль траектории частицы массы  $m$ , движущейся со скоростью  $v(s)$ . Интеграл берется вдоль траектории. Например, для частицы, движущейся с постоянной скоростью  $v$  по окружности радиуса  $R$ , действие  $A$  за один оборот равно  $2\pi m R v$ . Можно показать, что для частицы с постоянной энергией  $E$ , из всех возможных траекторий между двумя фиксированными точками реализуется та, вдоль которой действие  $A$ , определенное выше, имеет экстремум (минимум или максимум). Это утверждение известно как принцип наименьшего действия (ПНД).

A3	ПНД подразумевает, что траектория частицы, движущейся между двумя фиксированными точками в области постоянного потенциала, — это прямая. Пусть координаты двух фиксированных точек О и Р (Рис. 1) — это $(0,0)$ и $(x_0, y_0)$ соответственно; а $(x_1, \alpha)$ — это координаты точки на границе, где частица переходит из области I в область II. Отметим, что величина $x_1$ фиксирована, и действие $A$ зависит только от координаты $\alpha$ . Получите выражение для действия $A(\alpha)$ . Используя ПНД, получите соотношение между $v_1/v_2$ и упомянутыми координатами.	1.0
----	--	-----

### B Принцип экстремума в оптике

Луч света переходит из среды I в среду II с показателями преломления  $n_1$  и  $n_2$  соответственно. Эти две среды разделены линией, параллельной оси  $x$ . Луч света распространяется под углом  $i_1$  к оси  $y$  в среде I и под углом  $i_2$  в среде II. Чтобы получить траекторию луча, воспользуемся другим принципом экстремума (максимума или минимума) — принципом наименьшего времени Ферма.

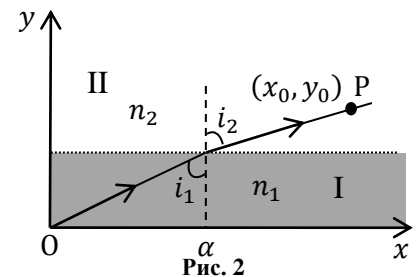


Рис. 2

B1	Принцип утверждает, что между двумя фиксированными точками луч света движется по такому пути, что время движения имеет экстремум. Получите соотношение между $\sin i_1$ и $\sin i_2$ , исходя из принципа Ферма.	0.5
----	--	-----

На Рис.3 схематически показана траектория лазерного луча, падающего горизонтально на раствор сахара, в котором концентрация сахара уменьшается с высотой. Следовательно, показатель преломления раствора также уменьшается с высотой.

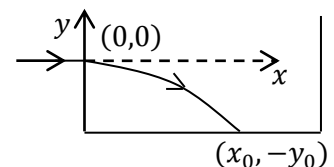


Рис. 3: Сосуд с раствором сахара

B2	Пусть показатель преломления $n(y)$ зависит только от $y$ . Используя уравнение, полученное в пункте B1, получите выражение для углового коэффициента касательной к пути луча $dy/dx$ . Выразите его через показатель преломления $n_0$ (при $y = 0$ ) и $n(y)$ .	1.5
B3	На Рис. 3 показано, что лазерный луч направлен горизонтально из начала координат $(0,0)$ в раствор сахара. Он входит в раствор на расстоянии $y_0$ от дна сосуда. Считайте, что $n(y) = n_0 - ky$ , где $n_0$ и $k$ — положительные константы. Получите выражение для траектории лазерного луча в таком	1.2

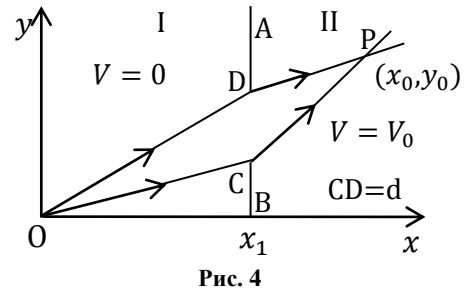


	сосуде, т.е. найдите, как $x$ зависит от $y$ и остальных параметров задачи. Примечание: $\int \sec \theta d\theta = \ln(\sec \theta + \tan \theta) + \text{const}, \quad \text{где } \sec \theta = 1/\cos \theta \text{ или}$ $\int \frac{dx}{\sqrt{x^2 - 1}} = \ln(x + \sqrt{x^2 - 1}) + \text{const}$	
B4	Рассчитайте значение $x_0$ точки, в которой луч падает на дно сосуда. Считайте, что $y_0 = 10.0$ см, $n_0 = 1.50$ , $k = 0.050$ см <sup>-1</sup> .	0.8

### C Принцип экстремума и волновая природа материи

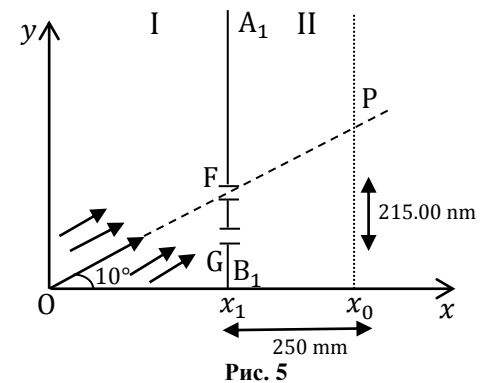
Теперь исследуем связь между ПНД и волновой природой движущейся частицы. Для этого предположим, что частица, движущаяся из точки О в точку Р может выбирать все возможные траектории. Будем искать траекторию, соответствующую взаимоусиливающей интерференции волн де Бройля.

C1	Пусть частица переместилась на бесконечно малое расстояние $\Delta s$ вдоль своей траектории. Свяжите изменение фазы $\Delta \varphi$ ее волны де Бройля с изменением действия $\Delta A$ и постоянной Планка.	0.6
C2	<p>Вспомните задачу из пункта А, где частица движется из точки О в точку Р (Рис. 4). Пусть между двумя областями, вдоль их границы АВ, установлена непрозрачная перегородка. В ней есть небольшая щель CD ширины <math>d</math>, причем <math>d \ll (x_0 - x_1)</math> и <math>d \ll x_1</math>.</p> <p>Рассмотрим две крайние траектории ОСР и ОДР, причем ОСР соответствует классической траектории, рассмотренной в части А. Найдите в первом приближении разность фаз <math>\Delta \varphi_{CD}</math> между двумя траекториями.</p>	1.2



### D Интерференция волн материи

Электронная пушка, находящаяся в точке О, направляет коллимированный пучок электронов на узкую щель в точке F в непрозрачной перегородке  $A_1B_1$ . Перегородка расположена на линии  $x = x_1$ , так что OFP — это прямая. Р — это точка на экране при  $x = x_0$  (Рис. 5). Скорость в области I равна  $v_1 = 2.0000 \times 10^7$  м/с, угол  $\theta = 10.0000^\circ$ . Потенциал в области II выбран так, что скорость  $v_2 = 1.9900 \times 10^7$  м/с. Расстояние  $x_0 - x_1$  равно 250.00 мм. Взаимодействием между электронами пренебречь.



D1	Рассчитайте ускоряющий потенциал $U_1$ , считая, что электроны ускоряются в точке О из состояния покоя.	0.3
D2	В перегородке $A_1B_1$ , ниже щели F на расстоянии 215.00 нм ( $1 \text{ нм} = 10^{-9} \text{ м}$ ), проделали еще одну такую же щель G. Разность фаз между волнами де Бройля, пришедшими в точку Р через щели F и G, может быть представлена как $2\pi\beta$ . Вычислите $\beta$ .	0.8
D3	Чему равно наименьшее расстояние $\Delta y$ от точки Р до точки на экране, в которой вероятность обнаружить электрон равна нулю? Примечание: $\sin(\theta + \Delta\theta) \approx \sin \theta + \Delta\theta \cos \theta$ .	1.2
D4	Луч имеет квадратное сечение $500 \text{ нм} \times 500 \text{ нм}$ , длина установки — 2 м. Какова минимальная плотность потока электронов $I_{\min}$ , если в среднем в установке в любой момент времени имеется хотя бы один электрон? Плотность потока электронов — это количество электронов, проходящих в единицу времени через единичную площадку по нормали к ней.	0.4



## Нелинейная динамика в электрических цепях (10 баллов)

Прежде чем приступить к выполнению этого задания, прочитайте инструкцию.

### Введение

Бистабильные нелинейные полупроводниковые элементы (например, тиристоры) широко используются в электронике в качестве переключателей и генераторов электромагнитных колебаний. С помощью тиристоров обычно управляют переменными токами в силовой электронике, например преобразуют мегаваттные переменные токи в постоянные. Бистабильные элементы также могут быть модельными системами для изучения самоорганизации в физике (это рассматривается в части В этой задачи), в биологии (часть С) и в других областях современной нелинейной динамики.

В этой задаче мы изучим неустойчивости и нетривиальные динамические свойства электрических цепей, содержащих элементы с нелинейными вольт-амперными характеристиками. Мы также рассмотрим возможные применения подобных схем в электронике и в моделировании биологических систем.

### Часть А. Стационарные состояния и неустойчивости (3 балла)

На рисунке 1 показана так называемая **S-образная** вольт-амперная характеристика нелинейного элемента  $X$ . В диапазоне напряжений между  $U_h = 4.00$  В (удерживаемое напряжение) и  $U_{th} = 10.0$  В (пороговое напряжение) эта вольт-амперная характеристика многозначна. График на рисунке 1 является ломанной (каждая ветвь представляет собой отрезок). Если верхнюю ветвь графика продолжить, то она пройдет через начало координат. Это приближение хорошо описывает реальные тиристоры.

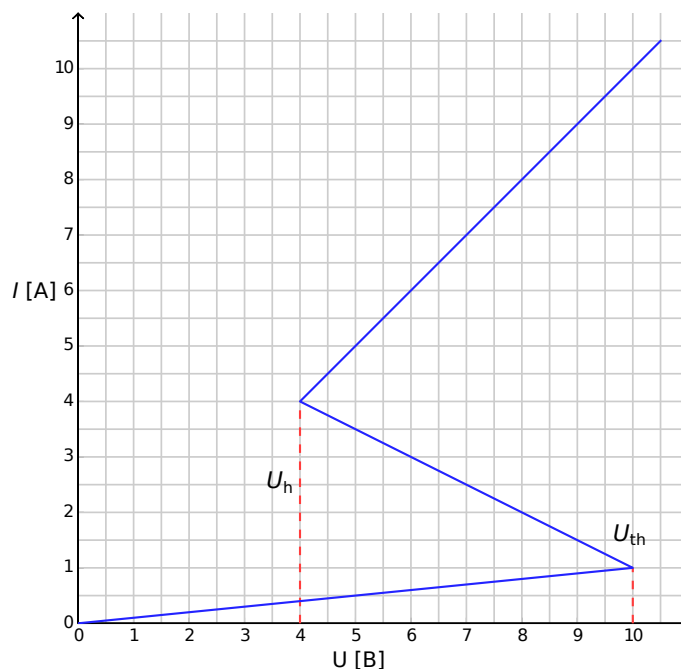


Рисунок 1: Вольт-амперная характеристика нелинейного элемента  $X$ .

- A.1** С помощью графика определите сопротивление  $R_{\text{on}}$  элемента  $X$  на верхней ветви вольт-амперной характеристики и  $R_{\text{off}}$  на нижней ветви соответственно. Средняя ветвь описывается уравнением 0.4pt

$$I = I_0 - \frac{U}{R_{\text{int}}}. \quad (1)$$

Найдите значения параметров  $I_0$  и  $R_{\text{int}}$ .

Элемент  $X$  соединен последовательно (рисунок 2) с резистором  $R$ , катушкой индуктивности  $L$  и идеальным источником напряжения  $\mathcal{E}$ . Если электрическая цепь находится в стационарном состоянии, то сила тока постоянна во времени,  $I(t) = \text{const}$ .

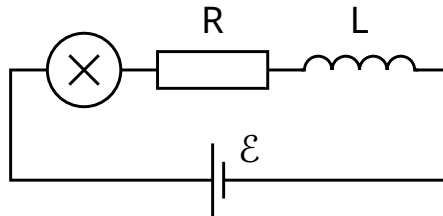


Рисунок 2: Электрическая цепь с элементом  $X$ , резистором  $R$ , катушкой индуктивности  $L$  и источником напряжения  $\mathcal{E}$ .

- A.2** Сколько возможных стационарных состояний может иметь электрическая цепь, изображенная на рисунке 2, при некотором заданном значении  $\mathcal{E}$  и при  $R = 3.00 \, \Omega$ ? Каким будет ответ при  $R = 1.00 \, \Omega$ ? 1pt

- A.3** Пусть в электрической цепи, показанной на рисунке 2,  $R = 3.00 \, \Omega$ ,  $L = 1.00 \, \text{мкГн}$  и  $\mathcal{E} = 15.0 \, \text{В}$ . Определите значения сила тока  $I_{\text{stationary}}$  и напряжения  $V_{\text{stationary}}$  на нелинейном элементе  $X$  в стационарном состоянии. 0.6pt

Пусть электрическая цепь на рисунке 2 находится в стационарном состоянии с  $I(t) = I_{\text{stationary}}$ . Стационарное состояние называется устойчивым, если после небольшого изменения тока (увеличения или уменьшения) значение тока возвращается к стационарному состоянию. Однако, если система продолжает уходить от стационарного состояния, то оно называется неустойчивым.

- A.4** Используйте численные значения заданные в **A.3** и изучите стабильность стационарного состояния с  $I(t) = I_{\text{stationary}}$ . Является ли стационарное состояние устойчивым или неустойчивым? 1pt

## Часть В. Бистабильные нелинейные элементы в физике: радиопередатчик (5 баллов)

В этой части мы исследуем новую схему электрической цепи (рисунок 3). Нелинейный элемент  $X$  соединен с конденсатором емкостью  $C = 1.00 \, \text{мкФ}$  параллельно. Этот блок включен последовательно с резистором  $R = 3.00 \, \Omega$  и идеальным источником постоянного напряжения  $\mathcal{E} = 15.0 \, \text{В}$ . Оказывается, что в этой цепи возникают колебания. За время одного периода колебаний свойства

элемента  $X$  "перескакивают" по вольт-амперной характеристике с одной ветви на другую.

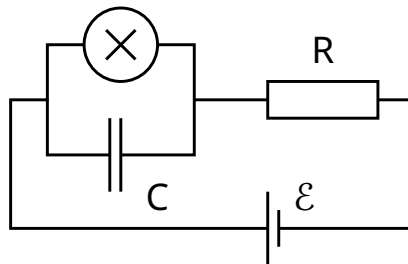


Рисунок 3: Электрическая цепь, состоящая из элемента  $X$ , конденсатора  $C$ , резистора  $R$  и источника напряжения  $\mathcal{E}$ .

**B.1** Нарисуйте цикл одного колебания на вольт-амперной характеристике, в том числе, укажите направление колебания (по часовой или против часовой стрелки). Обоснуйте свой ответ с помощью уравнений и схем. 1.8pt

**B.2** Найдите формулы для времён  $t_1$  и  $t_2$ , в течение которых система находится на каждой из ветвей вольт-амперной характеристики во время периода колебаний. Определите их численные значения. Найдите численное значение периода колебаний  $T$ , полагая, что временем, необходимым для скачкообразного перехода между ветвями вольт-амперной характеристики, можно пренебречь. 1.9pt

**B.3** Оцените среднюю мощность  $P$ , рассеянную нелинейным элементом в течение одного колебания. Достаточно привести порядок величины. 0.7pt

Электрическая цепь, показанная на рисунке 3, может использоваться для создания радиопередатчика. Для этого элемент  $X$  подключается к одному из концов антенны длины  $s$ . Антенна — это длинный прямой провод. Противоположный конец провода свободный. В антенне образуется стоячая электромагнитная волна. Скорость электромагнитной волны в антенне такая же, как и в вакууме. Передатчик настроен на основную гармонику системы с периодом  $T$  (из пункта **B.2**).

**B.4** Каково оптимальное значение  $s$ , если считать, что оно не может быть больше 1 км? 0.6pt

### Часть С. Бистабильные нелинейные элементы в биологии: нейристор (2 балла)

В этой части задачи мы рассмотрим применение бистабильных нелинейных элементов к моделированию биологических процессов. Нейрон в человеческом мозге обладает следующим свойством: при возбуждении внешним сигналом он совершает одно колебание, а затем возвращается в исходное состояние. Эта свойство называется возбудимостью. Благодаря этому свойству импульсы могут распространяться в сети связанных нейронов, которые образуют нервные системы. Полупроводниковый чип, предназначенный для имитации возбудимости и распространения импульса, называется нейристором.

Попробуем смоделировать простой нейристор, используя электрическую схему с исследованным ранее нелинейным элементом  $X$ . Для этого напряжение  $\mathcal{E}$  в схеме на рисунке 3 уменьшается до  $\mathcal{E}' = 12.0$  В. Колебания прекращаются и система переходит в свое стационарное состояние. Затем напряжение быстро увеличивается до  $\mathcal{E} = 15.0$  В и спустя некоторое время  $\tau$  ( $\tau < T$ ) возвращается обратно к  $\mathcal{E}'$  (Рис. 4). Оказывается, что есть некоторое критическое значение  $\tau_{\text{crit}}$ , такое, что поведение системы качественно отличается при  $\tau < \tau_{\text{crit}}$  и при  $\tau > \tau_{\text{crit}}$ .

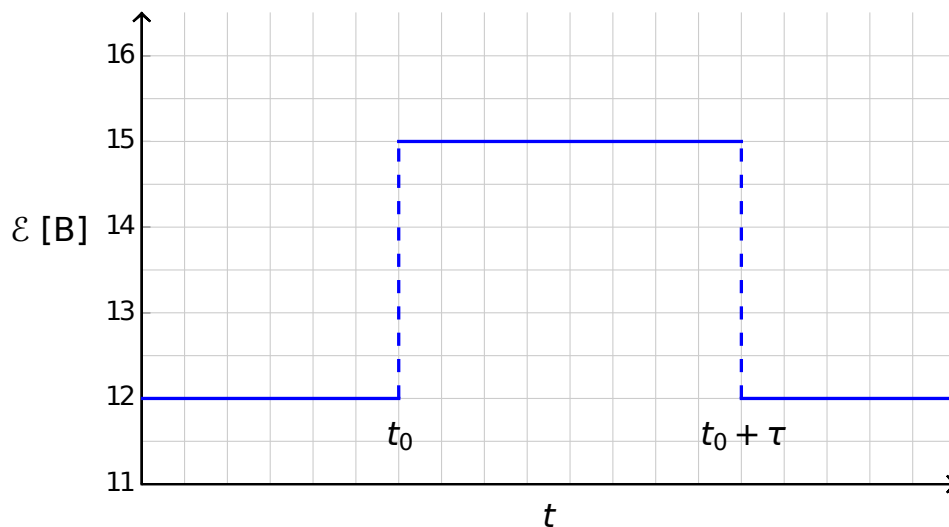


Рисунок 4: Напряжение источника как функция времени.

- |            |   |       |
|------------|---|-------|
| <b>C.1</b> | Схематически нарисуйте графики временной зависимости тока $I_X(t)$ через нелинейный элемент $X$ для $\tau < \tau_{\text{crit}}$ и для $\tau > \tau_{\text{crit}}$ . | 1.2pt |
| <b>C.2</b> | Найдите выражение для критического времени $\tau_{\text{crit}}$ и его численное значение, при котором происходит изменение поведения системы.                       | 0.6pt |
| <b>C.3</b> | Является ли схема нейристором при $\tau = 1.00 \times 10^{-6}$ с?   | 0.2pt |